

## تأثیر ژل کلاژن بر روی رژنراسیون عصب سیاتیک در لوله پلی وینیلیدین فلوراید (مطالعه فانکشنال و هیستولوژی)

غلامحسین فرجاه<sup>۱</sup>، محمد تقی جغتایی<sup>۲</sup>، مهدی مهدیزاده<sup>۳</sup>، ملیحه نوبخت<sup>۴</sup>، ملک سادات نعیمی<sup>۵</sup>

- ۱- استادیار، دانشگاه علوم پزشکی ارومیه
- ۲- استاد، دانشگاه علوم پزشکی ایران
- ۳- دانشیار، دانشگاه علوم پزشکی ایران
- ۴- استادیار، دانشگاه علوم پزشکی ایران
- ۵- پژوهش عمومی

یافته / دوره هفتم / شماره ۱۱ و ۱۰ / پاییز و زمستان ۱۴۰۲ / مسلسل ۱۱

### چکیده

دریافت مقاله: ۱۷/۰۷/۱۴۰۲، پذیرش مقاله: ۱۷/۰۷/۱۴۰۲

\* مقدمه: محدودیت دسترسی به محل‌های دهنده مناسب برای پیوند عصب، ضرورت تحقیق جهت یافتن جانشین مناسب برای پیوند عصب را توجیه می‌کند. هدف از این تحقیق مطالعه اثر مجرای پیزو الکتریک و ژل کلاژن بر روی رژنراسیون عصب بود.

\* مواد و روش‌ها: این تحقیق یک مطالعه تجربی است که از ۴۸ سرموش صحرایی نر (gr ۲۰۰-۲۵۰) استفاده شد. پس از قطع عصب سیاتیک، ۱ سانتیمتر از عصب برداشته شد و شکاف حاصله توسط یکی از ۴ روش زیر ترمیم شد (مجرای پلی وینیلیدین فلوراید یا PVDF با ژل کلاژن، اتوگرافت، شم و کنترل). همه حیوانات در روزهای ۷، ۲۱، ۳۵، ۴۹، ۶۰ و ۹۰ بعد از جراحی توسط تست‌های حسی، شاخص فعالیت عصب سیاتیک (SFI) و در نودمین روز بوسیله الکترووفیزیولوژی ارزیابی شدند. عصب سیاتیک در پایان هفته چهارم و دوازدهم بوسیله میکروسکوپ نوری و الکترونی مورد مطالعه قرار گرفت.

\* یافته‌ها: نود روز پس از جراحی، اختلاف معنی‌داری از لحاظ حسی در گروه‌های آزمایش مشاهده نشد. میانگین SFI در هفته نهم در گروه اتوگرافت نسبت به گروه ژل کلاژن+ PVDF+ افزایش معنی داری داشت ( $p < 0.01$ ). اختلاف میانگین سرعت هدایت عصب حرکتی در گروه‌های آزمایش از لحاظ آماری معنی دار نبود. در پایان هفته چهارم پس از ترمیم، بافت عصب تشکیل شده داخل مجرای PVDF به شکل گرد بود و تعداد آکسون‌های میلیون‌دار در گروه اتوگرافت بطور معنی داری بیشتر از گروه ژل کلاژن+ PVDF بود ( $p < 0.001$ ). در پایان هفته دوازدهم پس از ترمیم، میانگین تعداد آکسون‌های میلیون‌دار در گروه ژل کلاژن+ PVDF نسبت به گروه اتوگرافت کمتر بود ( $p < 0.01$ ).

\* نتیجه گیری: این مطالعه پیشنهاد می‌کند که با توجه به اثرات مثبت ژل کلاژن همراه با مجرای PVDF بر روی ترمیم عصب، استفاده از مجرای PVDF ممکن است جهت ترمیم ضایعات عصب محیطی مفید باشد.

واژه‌های کلیدی: عصب سیاتیک، ژل کلاژن، پلی وینیلیدین فلوراید

## مقدمه

ویلیامز<sup>۵</sup> و همکاران هنگامی که از لوله سلیکون خالی (بدون ماتریکس) جهت ترمیم عصب (حد فاصل دو انتهای عصب حدود ۱۰ میلی متر) استفاده نمودند، ترمیم آکسونی با شکست مواده شد (۸). والنتینی<sup>۶</sup> و همکاران بیان نمودند که میزان ترمیم عصب در کanal راهنمای عصب به غلظت ژل کلاژن وابسته است (۹). ساتو<sup>۷</sup> و همکاران با ایجاد شکاف در عصب سیاتیک و استفاده از لوله سلیکون حاوی ژل کلاژن، مشاهده نمودند که سرعت جوانه زدن آکسون به سمت انتهای دیستال افزایش می‌یابد (۱۰). تاکاهاشی<sup>۸</sup> و همکاران پیشنهاد نمودند که استفاده از ژل کلاژن جهت تشکیل پری نوریوم در طی ترمیم عصب ایده‌آل است (۱۱). کیلی<sup>۹</sup> و همکاران با استفاده از لوله محتوای ژل کلاژن یا فسفات بافر سالین جهت ترمیم ضایعه عصب سیاتیک، مشاهده نمودند که ژل کلاژن بعنوان یک ماتریکس ایده‌آل برای نگهداری فاکتورهای تغذیه کننده عصب یا سلول‌ها مفید می‌باشد (۱۲). نتایج تحقیقات وانگ<sup>۱۰</sup> و همکاران نشان می‌دهد که ورید ژوگولار پر شده با ژل کلاژن، سبب افزایش ترمیم عصب می‌شود (۱۳). سیبرونن<sup>۱۱</sup> و همکاران مشاهده نمودند که پس از قطع عصب در مقایسه با له شدن آن، بیان RNA پیامبر کلاژن در سلول‌های فیبروبلاست اپی‌نوریوم افزایش می‌یابد. افزایش بیان کلاژن I در اپی‌نوریوم ممکن است سبب ایجاد بافت لیفی در اپی‌نوریوم و مانع ترمیم آکسون شود (۱۴).

لابرادر<sup>۱۲</sup> و همکاران با استفاده از غلظت کمتر ژل کلاژن، بهبودی بالای ترمیم عصب را مشاهده نمودند (۱۵). مککلوج<sup>۱۳</sup> و همکاران مشاهده نمودند که کلاژن نوع I پستانداران سبب پشتیبانی رشد ترمیم نورون‌های حلزونی می‌شو (۱۶)؛ در حالی که تریس<sup>۱۴</sup> و همکاران هنگامی که از لوله سلیکون جهت ترمیم ضایعه عصب محیطی استفاده نمودند، نتیجه گرفتند که استفاده

به دنبال قطع اعصاب محیطی و شروع دزئرسانس والرین، قطعه انتهایی آکسون آسیب دیده توسط سلول‌های اطراف هضم و جذب می‌شوند (۱). به طور معمول پیوند اتوگرافت عصب یاروش طلایی<sup>۱</sup> برای ترمیم شکاف عصبی به کار می‌رود ولی به دلیل محدودیت دسترسی به بافت عصب و خطر گسترش بیماری، روشی ایده‌آل محسوب نمی‌شود (۲). بنابر این تلاش جهت پیدا کردن جانشین مناسب برای اتوگرافت ادامه دارد. کanal های راهنمایی عصب<sup>۲</sup> (NGCs)، لوله‌های طبیعی یا مصنوعی هستند که شکاف بین دو انتهای عصب بریده شده را پل می‌زنند و علاوه بر کمک به رشد آکسون، تشکیل بافت اسکار را به حداقل می‌رسانند (۳) و کشش را در ناحیه ترمیم عصب کاهش می‌دهند (۴). پلی وینیلیدین فلوراید<sup>۳</sup> (PVDF) یک مجرای مصنوعی است که علاوه بر انتشار گازها و مایعات به داخل مجراء، از نفوذ ملکول‌های مهارکننده جلوگیری می‌نماید و حاوی ملکول‌های دو قطبی است. هنگامی که این ملکول‌ها از لحاظ موقعیت در جهت صحیح قرار بگیرند، خاصیت پیزوالکتریک<sup>۴</sup> از خود نشان می‌دهند، یعنی به دنبال تغییر مکانیکی، شارژ سطحی تولید می‌کنند. تولید شارژ سطحی، رل مهمی در تمایز و تحریک انواع سلول‌ها از جمله شوان و رشد آکسون دارد (۵).

در دستگاه عصب محیطی، مقدار کشیدگی عصب توسط جهت‌گیری رشته‌های کلاژن محدود می‌شود. از آنجانی که تعدادی از رشته‌های کلاژن ارتباط نزدیکی با غشای پایه سلول شوان عصبی دارند، احتمال دارد که با جهت‌گیری رشته‌های عصبی در داخل دسته‌ها ارتباط داشته باشند (۶).

در اعصاب بزرگتر لایه‌هایی از رشته‌های کلاژن (در جهت طولی) و تعداد اندکی رشته ارتجاعی مابین سلول‌های فیبروبلاست یافت می‌شوند (۷).

- |                            |               |
|----------------------------|---------------|
| 1. Gold Standard           | 8. Takahashi  |
| 2. Nerve Guidance Channels | 9. Keeley     |
| 3. Polyvinylidene Fluoride | 10. Wang      |
| 4. Piezo electric          | 11. Siironen  |
| 5. Williams                | 12. Labrador  |
| 6. Valentini               | 13. Mcculloch |
| 7. Satou                   | 14. Terris    |

طول ۱۴mm در محل شکاف استفاده شد به طوری که دو انتهای بزیده عصب را به صورت تلسکوپی داخل لوله قرار داده و با نخ نایلون ۰-۱۰ به دیواره لوله بخیه زدیم. تمام مراحل فوق در زیر میکروسکوپ جراحی<sup>۸</sup> با بزرگنمایی ۲۰ و تحت شرایط استریل انجام شد.

۰/۳ میلی لیتر از محلول بافر فسفات ۱/۰ مولار حاوی ژل کلاژن<sup>۹</sup> با غلظت ۱/۲۸ mg/ml از طریق یک سرنگ یک میلی لیتری با سوزن شماره ۲۵ و قبل از محکم نمودن بخیه اپی‌نوریال به داخل لوله تزریق شد. در گروه اتوگرافت قطعه بزیده شده عصب ۱۸۰ درجه جابه‌جا و به دو انتهای بزیده عصب توسط نخ ۰-۱۰ بخیه شد. در گروه شم، عصب سیاتیک را نمایان کرده ولی قطع نکردیم. پس از عمل جراحی، بخش‌های بزیده عضله و پوست توسط اتیکون ۵-۰ بخیه شد. روش قطبی نمودن لوله PVDF: به منظور قطبی نمودن لوله PVDF، میله فلزی به قطر ۱/۶ mm را که بعنوان الکترود داخلی محسوب می‌شود و به زمین اتصال دارد، داخل مجرأ و الکترود خارجی را که با سطح خارجی لوله تماس دارد، به قطب مثبت منبع تولید کننده ولتاژ بالا مرتبط می‌نماییم. ولتاژ را به تدریج در مدت ۲ ساعت تا ۲۱ کیلوولت بالا برده و سپس به مدت ۱۲ ساعت در این حالت نگه می‌داریم (۱۹).

#### روش‌های اندازه‌گیری ترمیم عصب

الف - تست حسی: موش‌ها در روزهای ۷، ۲۱، ۳۵، ۶۰ و ۹۰ بعد از جراحی تحت بررسی حسی قرار گرفتند. برای این کار حیوان در بالای ظرف آب ۵۰ درجه سانتیگراد نگهداری شد. پای جراحی شده را در ظرف آب فرو برده به طوری که کف پای حیوان با کف ظرف در تماس بود. زمان بین شروع تماس و کشیدن پا از آب ثبت شد (۲۲).

از ژل کلاژن نمی‌تواند میزان ترمیم را تقویت نماید (۱۷). کیل هوف<sup>۱</sup> و همکاران نتیجه گرفتند که کلاژن نوع I و III می‌تواند در داخل مجرای راهنمای عصب سبب تقویت ترمیم عصب شوند (۱۸). والتينی و مکاران نیز نشان دادند که شارژ الکتریکی تولید شده از مجرای پیزوالکتریک سبب تقویت ترمیم اعصاب محیطی می‌شود (۱۹). فاین<sup>۲</sup> و همکاران گزارش کردند که تعداد آکسون میلینی دار و ضخامت میلین در لوله‌های قطبی مثبت نسبت به قطبی منفی بیشتر است (۲۰). زوائد نورون‌های کشت داده شده بر روی صفحات PVDF قطبی شده بیشتر از PVDF غیر قطبی رشد می‌نمایند (۲۱).

ژل کلاژن و خاصیت پیزوالکتریک کاتال PVDF هر یک به تنهایی موجب افزایش رژنراسيون اعصاب محیطی می‌شوند. بررسی‌های انجام شده توسط نویسندهای مقاله نشان می‌دهد که گزارشی مبنی بر استفاده توان آن‌ها تاکنون ارائه نشده است. هدف از این تحقیق ارزیابی رژنراسيون عصب سیاتیک با استفاده از کاتال PVDF و ژل کلاژن در مقایسه با روش اتوگرافت بوده است.

#### مواد و روش‌ها

تحقیق حاضر یک مطالعه تجربی است که برروی ۴۸ سر موش صحرایی نر بالغ<sup>۳</sup>، به وزن تقریبی ۲۰۰-۲۵۰ گرم انجام گرفت. حیوانات به صورت تصادفی به چهار گروه ۱۲ تایی تقسیم شدند: گروه PVDF با ژل کلاژن، گروه اتوگرافت، گروه شم<sup>۴</sup>، گروه کنترل.

روش جراحی: موش‌ها توسط ماده بیهوشی کتابمین<sup>۵</sup> (۹۰ mg/kg) و گزیلازین<sup>۶</sup> (۱۰ mg/kg) بصورت داخل صفاقی بیهوش شدند. برشی در پوست ناحیه خلفی خارجی ران ایجاد نموده و با کنار زدن عضله و فاسیا، عصب سیاتیک در فاصله بین بزیدگی سیاتیک تا محل دو شاخه شدن آن نمایان شد. در حد واسطه بین دو نقطه فوق و در محل یکسان برای همه گروه‌های آزمایشی، قطعه‌ای از عصب به اندازه ۱۰ mm بزیده شد. در گروه کلاژن + PVDF از یک قطعه لوله PVDF<sup>۷</sup> قطبی مثبت استریل با قطر داخلی ۱/۶ mm و به

- |                   |                          |
|-------------------|--------------------------|
| 1. Keilhoff       | 6. Xylazine              |
| 2. Fine           | 7. Harvard Apparatus.Ltd |
| 3. Sprague-Dawley | 8. Olympus, SZX12, Japan |
| 4. Sham           | 9. Roche                 |
| 5. Ketamin        |                          |

پایان هفته دوازدهم جهت مطالعه بافت‌شناسی پرفیوژن شدند. در تمام موارد پس از پرفیوژن، عصب سیاتیک را یک میلی‌متر قبل و یک میلی‌متر بعد از محل ترمیم بریده و نمونه تمام شب در ثابت کننده گلوتارالدهید  $2/5$  درصد و در دمای  $4^{\circ}$  درجه سانتی‌گراد نگهداری شدند. سپس هر نمونه را به سه قسمت ابتدایی، میانی و دیستال تقسیم نموده و پس از استفاده از تتراکسید یک درصد به مدت  $1/5$  ساعت، مراحل تهیه بلوک<sup>۱۶</sup> برای میکروسکوپ الکترونی انجام گرفت. بلوک‌های تهیه شده را توسط اولترامیکروتوم<sup>۱۷</sup> به اندازه  $500 \times 500 \text{ نانومتر} / 0.05 \text{ میکرون}$  برش زده و با محلول تولوئیدین بلو  $1\%$  به مدت  $2-3$  دقیقه رنگ‌آمیزی شدند. نمونه‌های نیمه نازک<sup>۱۸</sup> توسط میکروسکوپ پیشرفت‌هه تحقیقاتی<sup>۱۹</sup> در بزرگ نمایی‌های مختلف مطالعه شدند و توسط دوربین دیجیتالی<sup>۲۰</sup> متصل به کامپیوتر عکس گرفته شدند. تصاویر توسط برنامه کامپیوتری<sup>۲۱</sup> مورد مطالعه قرار گرفت. به طوری که ابتدا سطح مقطع عصب، خاصمت اپی‌نوریوم و مساحت عروق خونی تشکیل شده محاسبه شدند. سپس سطح مقطع عصب را به نواحی با مساحت  $1500 \text{ میکرومتر مربع}$  تقسیم و سه ناحیه بصورت تصادفی در همه مقاطع انتخاب شدند. پس از شمارش آکسون‌های میلیون دار،

1. Gait Analysis
2. Stamp pad
3. Sciatic Functional Index
4. Bain
5. Foot print Length
6. Experimental
7. Normal
8. Total spreading
9. Intermediary Toes
10. Motor and sensory Nerve Conduction Velocity
11. Motor Action Potential
12. Sensory Action Potential
13. Latency time
14. Amplitude
15. Toennies, Duoliner, England
16. TAAB Araldite 502/812
17. leica, ultracut
18. Semithin
19. Olympus, PROVIS Ax70, Japan
20. Olympus, DP11, Japan
21. OLYSIA Biorefort,Olympus, Japan

ب - ارزیابی راه رفتن: در روزهای  $7, 21, 35, 60$  و  $90$  پاهای عقب موش با جوهر<sup>۲</sup> رنگی شدند، سپس اجازه  $an nhni$  که بر روی کاغذ سفیدی که در کف راهرویی به ابعاد  $130 \times 25 \times 25$  سانتی‌متر قرار دارد و در انتهایه اتفاق تاریکی منتهی می‌شود، راه برود. شاخص فعالیت عصب سیاتیک<sup>۳</sup> یا SFI را براساس فرمول بین<sup>۴</sup> و همکاران برای پای جراحی شده و پای سالم محاسبه  $an$ <sup>۵</sup>.<sup>(۲۳)</sup>

$$SFI = -38.3 \left( \frac{EPL - NPL}{NPL} \right) + 109.5$$

$$\left( \frac{ETS - NTS}{NTS} \right) \left( +13.3 \frac{EIT - NIT}{NIT} \right) - 8.8$$

طول کف پا<sup>۶</sup> (PL): طول اثر کف پا در سمت آزمایش<sup>۶</sup> و نرمال<sup>۷</sup> بر حسب میلی‌متر فاصله بین انگشتان  $1$  و  $5$  (TS)<sup>۸</sup>: خطی که فاصله بین مرکز انگشت پنجم را به مرکز انگشت اول متصل می‌کند (بر حسب میلی‌متر)

فاصله بین انگشتان  $2$  و  $4$  (IT)<sup>۹</sup>: خطی که فاصله بین مرکز انگشت دوم را به مرکز انگشت چهارم متصل می‌کند (بر حسب میلی‌متر)

ج - مطالعات الکتروفیزیولوژی: در آخر هفته دوازدهم، شش موش از هر گروه از طریق داخل صفاقی کاملاً بیهوش شدند. پس از نمایان کردن عصب سیاتیک، الکترود سوزنی دو قطبی استریل را به آرامی به داخل عضله گاسترولکمیوس، یک سانتی‌متر زیر برجستگی تیبیا فرو بردیم. ابتدا از عضله گاسترولکمیوس در حالت استراحت، الکترومیوگرافی بدست آمد (جوانگیری مستقیم). سپس سرعت هدایت عصب حرکتی و حسی<sup>۱۰</sup> (SNCV) و MNCV (SNCV) محاسبه شد. همچنین پتانسیل عمل حرکتی<sup>۱۱</sup> (MAP) و پتانسیل عمل حسی<sup>۱۲</sup> (SAP) جهت تعیین زمان جوابگویی (زمان تاخیر)<sup>۱۳</sup> و دامنه پتانسیل فعالیت<sup>۱۴</sup> جهت بررسی و تجزیه و تحلیل توسط دستگاه ثبت گردید.

د - مطالعات بافت‌شناسی: شش موش از هر گروه در پایان هفته چهارم و بقیه موش‌ها پس از انجام الکتروفیزیولوژی در

دهم، مقدار SFI در گروه های آزمایشی تغيير زیادي نداشت (شكل شماره ۱).



شكل شماره ۱- تصویر اندام عقب (Toes print) موش های گروه های مختلف هنگام راه رفتن جهت اندازه گیری SFI. دوازده هفته پس از ترمیم a) Collagen gel + PVDF b) Autograft c) Control

ج - الکتروفیزیولوژی: در انتهای هفته ۱۲، از تعداد شش سرموش از هر گروه الکترومیوگرافی بعمل آمد. علائمی دال بر بی عصبی مشاهده نشد که این نشانه برقراری ارتباط عصب با عضله بود و راه عصبی سالم بود. میانگین MNCV و SNCV عصب سیاتیک نرمال به ترتیب  $45 \pm 2/7$  و  $43 \pm 1/7$  متر بر ثانیه است. اختلاف میانگین MNCV بین گروه ژل کلاژن + PVDF ( $23 \pm 3/2$  m/s) و گروه اتوگرافت ( $28 \pm 3/9$  m/s) از لحاظ آماری معنی دار نبود (p=0.05). میانگین SNCV در گروه اتوگرافت ( $31/9 \pm 4/1$ ) بيشتر از گروه ژل کلاژن + PVDF ( $24/3 \pm 1/9$ ) بود (p<0.01).

#### د - مطالعه میکروسکوپی

برشهای نیمه نازک<sup>۵</sup>: در پایان هفته چهارم، عصب های ترمیم شده در داخل لوله PVDF به شکل مدور<sup>۶</sup> بود، که توسط ژل غلیظ و چسبناک بدون سلولی احاطه شده بودند. به طوری که بافت های ترمیم شده هرگز با دیواره داخل لوله تماس مستقیم

قطر رشته عصب و ضخامت میلين محاسبه شد. پس از تهیه برش نیمه نازک، محل مناسب برای مطالعه میکروسکوپ الکترونی مشخص شد؛ سپس با استفاده از اولترا میکروتوم به اندازه ۵۰ نانومتر برش داده شد و برش ها بر روی شبکه مسی<sup>۱</sup> قرار گرفت و توسط میکروسکوپ الکترونی<sup>۲</sup> برای شمارش آكسون های بدون میلين مورد مطالعه قرار گرفتند.

تجزیه و تحلیل آماری، بوسیله نرم افزار SPSS و با استفاده از آنالیزهای ANOVA و t-test انجام شد.

#### یافته ها

هیچ علائمی مبنی بر عفونت و درد در جریان ترمیم مشاهده نگردید. هیچ حیوانی نمرد؛ ولی خود خواری<sup>۳</sup> در پای تعدادی از حیوانات (۱۲ درصد) مشاهده گردید، که توسط نمونه های جدید جایگزین شدند.

الف - تست حسی: میانگین تاخیر پاسخ حسی پای نرمال به تحريك حرارتی در دنارک،  $2/2 \pm 0/9$  ثانیه است. در آخر هفته دوازدهم پس از ترمیم، هیچ اختلاف معنی داری بین گروه ژل کلاژن + PVDF و اتوگرافت مشاهده نشد ( $p=0.07$ )؛ ولی در مقایسه با گروه کنترل و شاهد اختلاف معنی دار بود ( $p<0.003$ ).

ب - تست حرکتی: بعد از قطع عصب سیاتیک هیچ کدام از حیوانات توانایی راه رفتن بر روی کف پای آسیب دیده را نداشتند. توانایی راه رفتن در پای جراحی شده از هفته سوم شروع شد. به هر حال برگشت به حالت نرمال (حد فاصل  $+11$  و  $-11$ ) در هیچ حیوانی مشاهده نگردید (شكل شماره ۱). تا انتهای هفته سوم (روز ۲۱) پس از ترمیم، از لحاظ آماری اختلاف معنی داری بین گروه های آزمایشی مشاهده نشد ( $p=0.06$ ). پس از هفته پنجم مقدار SFI در گروه اتوگرافت بطور معنی داری بيشتر از گروه ژل کلاژن + PVDF بود ( $p<0.01$ ). مقدار SFI تا هفته نهم افزایش یافت و پس از آن تقریباً ثابت ماند. در هفته نهم میانگین SFI در گروه ژل کلاژن + PVDF و اتوگرافت به ترتیب  $68 \pm 6$  و  $-86 \pm 7.6$  می باشد. پس از هفته

1.Grid

2. Leo 906

3. Autophage

4. Deneration

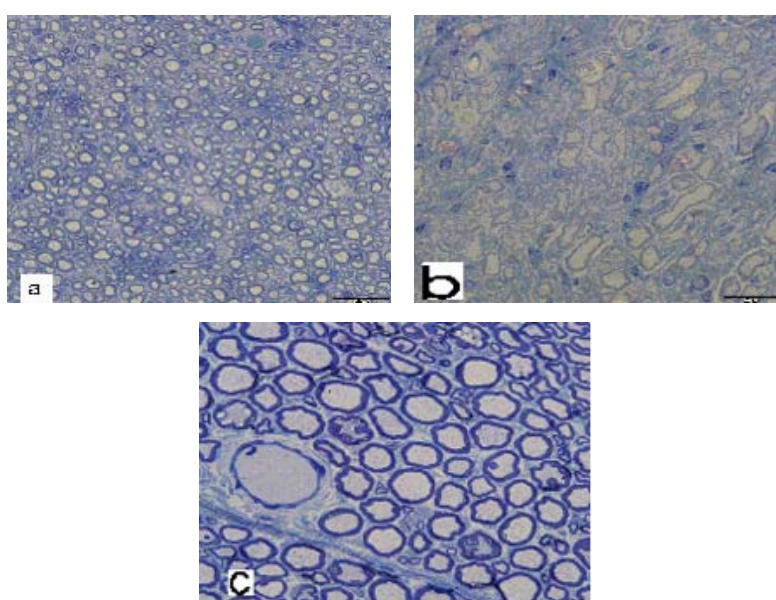
5. Semi-thin

6. Circular

كه نسبت به گروه انوگرافت ( $460 \pm 33$  mm) كمتر بوده است ( $p < 0.01$ ). اختلاف ميانگين نسبت ضخامت ميلين به قطر آكسون در گروه ژل کلاژن + PVDF ( $11 \pm 0.2$ ) نسبت به گروه انوگرافت ( $12 \pm 0.1$ ) معني دار نبود.

در پايان هفته دوازدهم، نسبت ضخامت اپي نوريوم به سطح عصب ترميم شده (بر حسب درصد)، در گروه ژل کلاژن + PVDF ( $0.85 \pm 0.06$ ) به طور معني داري نسبت به گروه انوگرافت ( $0.45 \pm 0.01$ ) بيشتر بود ( $p < 0.01$ )؛ ولی در مقاييسه با هفته چهارم کاسته شده بود، به طوري که اپي نوريوم در گروه ژل کلاژن + PVDF نازکter شده بود. اندازه فاسيكيل ها نسبت به هفته چهارم بزرگter شده و حدود آنها به راحتی قابل تشخيص بود. نسبت مساحت عروق خونی به سطح كل بافت عصب ترميم شده در گروه ژل کلاژن + PVDF ( $5/3 \pm 1/1$ ) به طور معني داري بيشتر از گروه انوگرافت ( $3/1 \pm 0.4$ ) بود ( $p < 0.02$ ). ميانگين تعداد آكسون های ميلين دار در گروه ژل کلاژن + PVDF و گروه 7 آتسوگرافت به ترتيب  $6329 \pm 315$  و  $11115 \pm 614$  بود ( $p < 0.001$ ). همچنين ميانگين ضخامت ميلين در گروه ژل کلاژن + PVDF  $\pm 162$  mm است که نسبت به گروه انوگرافت  $665 \pm 161$  mm ( $p < 0.001$ ) (شکل شماره ۲).

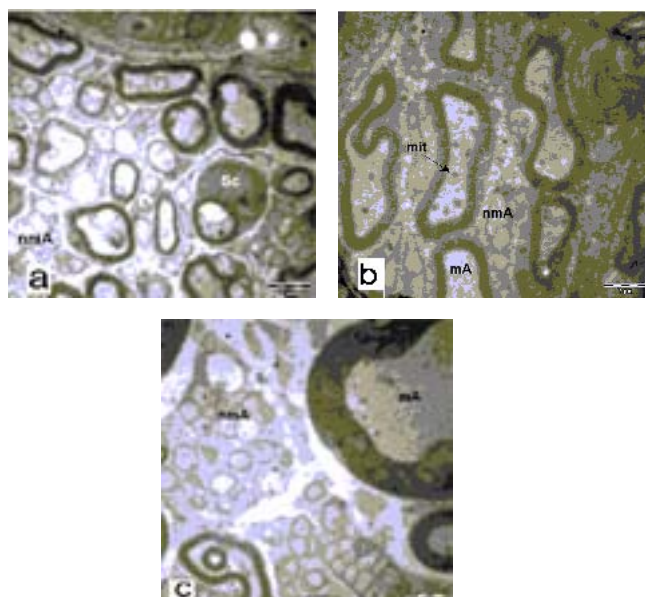
نداشتند. عصب رشد كرده باريک بوده و در ناحيه ميانى لوله، نسبت به دو انتهائي ابتدائي و انتهائي نازکter بود. نسبت ضخامت اپي نوريوم به سطح عصب ترميم شده (بر حسب درصد)، در گروه ژل کلاژن + PVDF  $4.8 \pm 1.1$  بود. سطح خارجي عصب ترميم شده در داخل لوله PVDF، توسط تعدادي ماکروفاز احاطه شده بود. انشعاباتي از اپي نوريوم به داخل بافت عصب کشideh شده بودند، و دسته هاي تازه تشکيل شده را از هم مجزا نمودند. عروق خونی در اندازه هاي مختلف (۶۰ تا ۱۱۰ ميكرومتر مربع) و بصورت پراكنده در سرتاسر عصب ترميم شده تشکيل شده بودند. نسبت مساحت عروق خونی به سطح كل بافت عصب ترميم شده در گروه ژل کلاژن + PVDF در ناحيه پروگزيمال بيشتر و در ناحيه ميانى كمتر بود و مقدار آن بر حسب درصد به سطح كل بافت عصب در گروه ژل کلاژن + PVDF ( $4/1 \pm 1/6$ ) و گروه انوگرافت ( $4/3 \pm 0.8$ ) بود ( $p = 0.08$ ) در همه گروه هاي آزمایش تعداد آكسون های ميلين دار در بخش پروگزيمال محل ترميم عصب بيشتر از ناحيه ميانى و ديسنال آن بود. تعداد آكسون های ميلين دار در گروه انوگرافت  $4290 \pm 314$  بود که به طور معني داري بيشتر از گروه ژل کلاژن + PVDF ( $2250 \pm 411$ ) بود ( $p < 0.001$ ). ميانگين ضخامت ميلين در گروه ژل کلاژن + PVDF ( $381 \pm 21$  mm) بود



شکل شماره ۲- برش عرضی رنگ آمیزی شده با تولوئیدین - بلو، از عصب رژنره شده در ناحیه میانی لوله PVDF در مقایسه با گروه انوگرافت، ۱۲ هفته پس از ترمیم (X100) (a) گروه نرمال (b) گروه انوگرافت (c) گروه Collagen + PVDF

ميانگين آكسون های بدون ميلين در پايان هفته دوازدهم پس از ترميم، در گروه ژل کلاژن + PVDF ( $511 \pm 511$ ) نسبت به گروه اتوگرافت ( $11270 \pm 17280$ ) كمتر بود ( $p < 0.01$ ).

برش های نازک<sup>۱</sup>: ميانگين تعداد آكسون های بدون ميلين در پايان هفته چهارم پس از ترميم، در ژل کلاژن + PVDF ( $10538 \pm 417$ ) نسبت به گروه اتوگرافت ( $10538 \pm 417$ ) اختلاف معنی داری داشت ( $p < 0.01$ ) (شکل شماره ۳).



شکل شماره ۳- تصویر ميكروسكوب الکتروني، از عصب رژنره در ناحيه ميانی لوله PVDF، در مقایسه با اتوگرافت و عصب نرمال، ۴ هفته پس از ترميم (X ۳۵۹۷) (a) گروه Autograft (b) گروه Collagen + PVDF (c) عصب Normal

دردناک را در هفته پنجم پس از ضایعه  $5/1 \pm 3$  ثانية گزارش کردند (۲۶).

در تحقيق حاضر هنگامی که از ژل کلاژن در داخل لوله PVDF استفاده نموديم، ميانگين تاخير به  $10/98 \pm 3/11$  ثانية افزایش يافت. تصور می شود اگر چه حضور کلاژن بعنوان راهنمای آكسون های در حال رشد اهمیت دارد؛ ولی کافی نیست. هنگامی که عصب تحت فشار قرار می گيرد، پوشش های اپی نوريوم و پري نوريوم آن سالم است و نيازی برای بخие زدن وجود ندارد، در نتيجه ترميم عصب به راحتی و سريع تر انجام می گيرد و کاهش ميانگين تاخير پاسخ حسي دردناک در هنگام له شدن عصب نسبت به تحقيق ما توجيه پذير است.

## بحث

تحقیق ما نشان داد که در کانال راهنمای عصب نسبت به اتوگرافت بافت ليفی کمتری تشکیل می شد. وجود دو خط بخیه در پیوند اتوگرافت امکان ایجاد بافت ليفی و جلوگیری از رشد آكسون های ترميم شده را افزایش می داد. با توجه به روش های مختلف ارزیابی توسط محققین مختلف، مقایسه بين تحقیقات سخت و دشوار است (۲۴). در بسیاری از تحقیقات انجام شده اندازه شکاف عصب کمتر از یک سانتي متر در نظر گرفته شده بود که این امر مطمئنا بر نتایج حاصل از تحقیق بسیار موثر بوده است (۲۵). کانايا<sup>۲</sup> و همکاران پس از تحت فشار قرار دادن عصب سیاتیک موش صحرایی، از محلول NGFs به مقدار  $1\text{ mg}$  به صورت موضعی جهت تسريع در روند ترميم استفاده نمودند و ميانگين تاخير پاسخ حسي

1. Ultrathin

2. Kanaya

طرف مرکز لوله رشد کرده بودند. از طرفی بعضی از ملکول های ماتريكس خارج سلولی (همانند کلاژن) نيز شارژ الکتریکی دارند و هنگامی که در محیط پیزوالکتریک با ذخیره شارژ الکتریکی قرار می‌گیرند، در جهتگیری منظمی آرایش می‌یابند. جنارد<sup>۴</sup> و همکاران با استفاده از لوله PVDF ترمیم عصب سیاتیک، ملاحظه نمودند که ماکروفازها سطح خارجی کابل عصبی را احاطه می‌کنند (۳۰). ماکروفازها با ترشح فاکتورهای متعدد رشد، سبب تقویت ترمیم می‌شوند. در تحقیق حاضر نیز مشاهده گردید که بافت عصب ترمیم شده داخل لوله توسط تعدادی ماکروفاز فعال و بزرگ احاطه شده است، که ممکن است بافت عصب تازه تشکیل شده را نسبت به لوله PVDF محافظت نماید. وجود واکوئل‌های فراوان در داخل سیتوپلاسم ماکروفازها، بیانگر عمل بیگانه خواری آن‌ها است.

سیلووا و همکاران با مطالعه ترمیم عصب، چهار هفته پس از ترمیم مشاهده نمودند که ابی نوریوم به خوبی تشکیل شده و مقدار فراوانی عروق خونی وجود دارد (۲۹).

در تحقیق حاضر مشاهده گردید که نسبت ضخامت اپی نوریوم به سطح عصب رژنره شده در گروه ژل کلاژن بیشتر از گروه اتوگرافت بوده است. این افزایش ضخامت اپی نوریوم در گروه ژل کلاژن به دلیل افزایش مقدار رشته‌های کلاژن بوده است که در داخل لوله بعنوان فاکتور کمک کننده به ترمیم اضافه شده است. به طوری که رشته‌های کلاژن و فیبروبلاست‌ها در مسیری موازی با جهت حلقه‌های سطحی لوله قرار می‌گیرند و بافت لیفی در داخل عصب مشاهده نمی‌شود. نسبت اپی نوریوم به سطح مقطع عصب در گروه کلاژن، بیانگر این نکته است که افزایش سطح مقطع گروه کلاژن به تنها ی نشانه بهبود ترمیم عصب نیست، بلکه تعداد

هار<sup>۱</sup> با مطالعه بر روی ترمیم عصب سیاتیک موش صحرایی، مشاهده نمود که بیشتر نتایج بهبودی فانکشنال در هفته ۲ تا ۱۲ اتفاق می‌افتد، بطوری که متوسط مقدار SFI در هفته دوم،  $102/4 \pm 5/5$  و در هفته دوازدهم،  $65/8 \pm 8/3$  بوده است. در تحقیق حاضر مقدار SFI در گروه‌های آزمایش تا هفته نهم افزایش می‌یابد و بعد از آن تغییر زیادی ملاحظه نمی‌گردد. این عدم افزایش SFI پس از هفته نهم، احتمالاً به دلیل کوتاهی عضلات و سفتی مفاصل در اندام جراحی شده می‌باشد و پیشنهاد می‌گردد که انجام حرکت درمانی و توانبخشی در دست یابی به نتایج بهتر، ممکن است مفید باشد (۲۷).

کیلی<sup>۲</sup> و همکاران با انجام تست‌های الکتروفیزیولوژی نشان دادند که گروه اتوگرافت نسبت به کanal پر شده از کلاژن، سرعت هدایت حسی و حرکتی بالاتری دارد (۲۸). در تحقیق حاضر میانگین سرعت هدایت عصب حرکتی در گروه ژل کلاژن + PVDF<sup>+</sup> و گروه اتوگرافت از لحاظ آماری معنی دار نبود، ولی سرعت هدایت عصب حسی در گروه اتوگرافت کمی بیشتر از گروه ژل کلاژن بود. کسب نتایج حاصل از این تحقیق از دو جهت حائز اهمیت است: اولاً طول شکاف عصب به یک سانتیمتر افزایش یافته است؛ ثانیاً سرعت هدایت عصب حرکتی و حسی نسبت به سایر تحقیقات افزایش دارد. افزایش سرعت هدایت عصب حرکتی به قطر آکسون و ضخامت میلیم وابسته است.

سیلووا<sup>۳</sup> و همکاران با مطالعه برروی ترمیم عصب سیاتیک موش مشاهده کردند که در هفته چهارم پس از ترمیم، کابل عصب ترمیم شده در ناحیه مرکزی کanal راهنمای عصب تشکیل شده بود (۲۹). در تحقیق حاضر و در پایان هفته چهارم مشاهده گردید که عصب ترمیم شده در داخل لوله PVDF به شکل گرد بوده است که توسط ژل غلیظ و چسبناک بدون سلولی احاطه شده بود. آکسون‌ها به دلیل شارژ تولید شده توسط خاصیت پیزوالکتریک لوله PVDF به

1. Hare  
2. Keeley

3. Silva  
4. Guenard

محل ترمیم کمتر از ناحیه ابتدایی می‌باشد زیرا تعدادی از آکسون‌ها (به دنبال انتخاب مسیر غلط) نوروما تشکیل PVDF می‌دهند. افزایش تعداد آکسون‌های میلین دار در گروه شارژ شده، نشانگر تاثیر رشته‌های کلاژن در مسیریابی صحیح آکسون‌های ترمیم شده است. تصور می‌شود که رشته‌های کلاژن در هدایت صحیح آکسون‌های در حال رشد نقش مهمی ایفا نمایند.

تحقیقات فراوانی در زمینه ترمیم اعصاب محیطی انجام شده، ولی هنوز سوالات زیادی بدون جواب باقی مانده است، از جمله: الف - کدام ماتریکس و با چه ترکیب و غلظتی برای رژنراسيون مفید است؟، ب - ترکیب ایده‌آل برای فاکتورهای تحریک کننده عصب که موجب ترمیم رشد آکسون‌ها می‌شوند، کدامند؟، ج - مقدار این فاکتورهای تحریک کننده عصب را چگونه تنظیم نماییم؟، د - آیا می‌توانیم فاکتورهای تحریک کننده یا مهار کننده رشد عصب را در مراحل تکامل جنین بیابیم؟

تلاش جهت پاسخ‌گویی به سوالات بالا، ضرورت انجام

تحقیقات بیشتر را درباره ترمیم اعصاب نشان می‌دهد.

آکسون و ضخامت میلین دو عامل مهم به شمار می‌آیند. ابیشر<sup>۱</sup> و همکاران با استفاده از لوله PVDF قطبی حاوی نرمال  $\pm 224$ ،  $2179 \pm 177$ ،  $3183$  به ترتیب در پایان هفته  $4$  و  $12$  پس از ترمیم گزارش کردند (۵)، والتنینی<sup>۲</sup> و همکاران با استفاده از لوله پیزوالکتریک شارژ شده حاوی محلول فیزیولوژیک، تعداد آکسون‌های میلین دار را در پایان هفته چهارم  $230.1 \pm 20.6$  اعلام نمودند و مشاهده کردند که آکسون‌ها با شکل‌های نامنظم تشکیل PVDF می‌گردند (۱۹). جنارد و همکاران با استفاده از لوله  $1989 \pm 428$  غیر شارژ جهت ترمیم شکاف عصب سیاتیک آکسون میلین دار را در پایان هفته چهارم پس از ترمیم مشاهده نمودند (۳۰). فاین و همکاران با استفاده از لوله PVDF شارژ شده و مقایسه تعداد آکسون‌های میلین دار در ناحیه ابتدایی، میانی و انتهایی لوله، مشاهده کردند که تعداد آکسون‌ها از ناحیه ابتدایی به دیستال کاسته می‌شود (۲۰).

### نتیجه گیری

در تحقیق حاضر نیز همانند سایر تحقیقات انجام شده مشاهده گردید که تعداد آکسون‌های میلین دار در ناحیه انتهایی

1. Aebischer

2. Valentini

## References

1. Chen YS, Wang-Bennett LT, and Coker NJ. Facial nerve growth factor receptor mRNA is developmentally regulated and increased after axotomy in rat spinal cord motoneurons, *Neuron* 1989; 2(6): 1605-13
2. Evans GR, Challenges to nerve regeneration, *Semin Surg oncol*, 2000; 19(3): 312-8
3. Hudson TW, Evans GR.D, and Schmidt CE. Engineering strategies for peripheral nerve repair, *Tissue Engineering*, 1999; 26(4): 617-628
4. Strauch B. Use of nerve conduits in peripheral nerve repair, *Nerve Repair and Reconstruction*, 2000; 16(1): 123-130
5. Aebischer P, Valentini RF, Dario P Domenici C, and Galletti PM. Piezoelectric guidance channels enhance regeneration in the mouse sciatic nerve after axotomy. *Brain Research*. 1987, 436: 165-168
6. Fawcett DW. A Text book of Histology, 12 th ed, Chapman and Hal, New york, 1994: 309-364
7. Junqueira LC, Carneiro J, and long AY. Basic Histology, chapter 9, 10th ed USA, Appleton and Lange, 2003
8. Williams LR, Danielsen N, Muller H, and Varon S. Exogenous matrix precursors promote functional nerve regeneration across a 15mm gap within a silicone chamber in the rat, *J Comp Neurol*, 1987; 264(2): 284-90
9. Valentini FR, Aebischer P, Winn SR, and Galletti PM. Collagen and Laminin containing gels impede peripheral nerve regeneration through semipermeable nerve guidance channels, *Exp Neurol* 1987; 98(2): 350-6
10. Satou T, Nishida S, Hiruma S, Tanji K, Takahashi M, Fujita S. A morphological study on the effects of collagen gel matrix on regeneration of served rat sciatic nerve in silicone tubes, *Acta pathol Jpn* 1986; 36(2): 199-208 (Abstract)
11. Takahashi M, Satou T, and Hashimoto S. Experimental in vivo regeneration of peripheral nerve axons and perineurium guided by resorbable collagen film, *Acta pathol Jpn* 1988; 38(12): 1489-502 (Aabstract)
12. Keeley R, Atagi T, Sabelman E, Padilla J, Kadlcik S, Keeley A, and et al. Peripheral nerve regeneration across 14-mm gaps: A comparison of autograft and entubulation repair methods in the rat, *J Reconstr Microsurg* 1993; 9(5): 349-58
13. Wang KK, Costas PD, Jones DS, Miller RA, and Seckel BR. Sleeve insertion and collagen coating improve nerve regeneration through vein conduits, *J Reconstr Microsurg*, 1993; 9(1): 39-48
14. Siironen J, Vuorio E, Sandberg M, and Royatta M. Expression of type I and III collagen and Laminin beta I after rat sciatic nerve crush injury, *J Peripher Nerve Syst* 1996; 1(3): 209-21 (Abstract)
15. Labrador RO, Buti M, and Navaro X. Influence of collagen and laminin gels concentration on nerve regeneration after resection and tube repair, *Exp Neurology*. 1998; 149:243-252
16. McCulloch F, and Breckenridge L. Effects of target tissue on growth of snail neurons in collagen gel culture, *Neuroreport*, 1998; 9(10): 3291-7
17. Terris DJ, Cheng ET, Utley DS, Tarn DM, HO PR, and Verity AN. Functional

- recovery following nerve injury and repair by silicon tubulization: Comparison of laminin-fibronectin, dialyzed plasma, collagen gel, and phosphate buffered solution, *Auris Nasus Larynx* 1999; 26 (2): 117-22 (Abstract)
18. Keilhoff G, Stang F, Wolf G, and Fansa H. Bio-compatibility of type I/III collagen matrix for peripheral nerve reconstruction, *Biomaterials* 2003; 24(16): 277-87
19. Valentini RF, Sabatini AM, Dario P, and Aebischer P. Polymer electric guidance channels enhance peripheral nerve regeneration in mice, *Brain Research* 1989; 480: 300-304
20. Fine EG, Valentini RE, Bellamkonda R, and Aebischer P. Improved nerve regeneration through piezoelectric vinylidenefluoride trifluoroethylene copolymer guidance channels. *Biomaterials* 1991; 12: 775-780
21. Valentini RF, Vargo TG, Gardella JA JR, and Aebischer P. Electrically charged polymeric substrates enhance nerve fiber outgrowth in vitro. *Biomaterials* 1992; 13(3): 183-90
22. Lee LQ. Effects of nerve growth factor on nerve regeneration through a vein graft across a gap, *Plastic and Reconstructive Surgery*, 1999; 104(5):405-411
23. Bain J, Mackinnon S, and Hunter DA. Functional evaluation of complete sciatic, peroneal and posterior tibial nerve lesions in the rat. *Plast Reconstr Surg*, 1989; 83: 129
24. Pu L, Syed SA, Reid M, Patwa H, Goldstein JM, Forman DL, and et al. Effects of nerve growth factor on nerve regeneration through a vein graft across a gap, *Plastic and Reconstructive Surgery*, 1999; 104(5): 1379-1385
25. Maniwa S, Iwata A, Hirata H, and Ochi M. Effects of neurotrophic factors on chemokinesis of schwann cells in culture, *Scand J Plast Reconstr surg Hand surg*, 2003; 37(1): 14-7 (Abstract)
26. Kanaya F, Breidenbach WC, and Firrell JC. Sciatic function index nerve conduction tests, Muscle contraction, and axon morphometry as indicators of regeneration, *Plast Reconstr Surg*, 1996; 98 (7): 1264-1271
27. Hare GMT, Evans PJ, Mackinnon SE, Best JJ, Bain JR, Szalai JP, and et al. Walking track analysis: A long – term assessment of peripheral nerve recovery, *Plastic and Reconstructive Surgery*, 1992; 89 (2): 251-258
28. Keeley R, Atagi T, Sabelman E, Padilla J, Kadlcik S, Keeley A, and et al. Peripheral nerve regeneration across 14-mm gaps: a comparison of autograft and entubulation repair methods in the rat, *J Reconstr Microsurg*, 1993; 9(5): 349-58
29. Silva CD, Madison R, Dikkes P, Chiu T, and Sidman R ; An invivo model to quantify motor and sensory peripheral nerve regeneration using bioresorbable nerve guide tubes, *Brain Research*, 1985, 342: 307-315
30. Guenard V, Valentini RF, and Aebischer P. Influence of surface texture of polymeric sheets on peripheral nerve regeneration in a two-compartment guidance system, *Biomaterials*, 1991,12: 259-263